

● 7月22日～8月11日頃に四国東部から西部において、活発な活動。

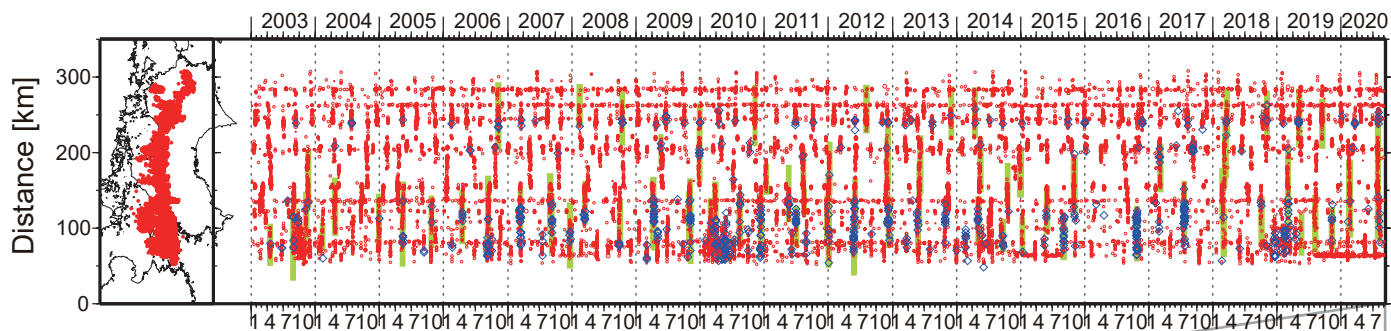
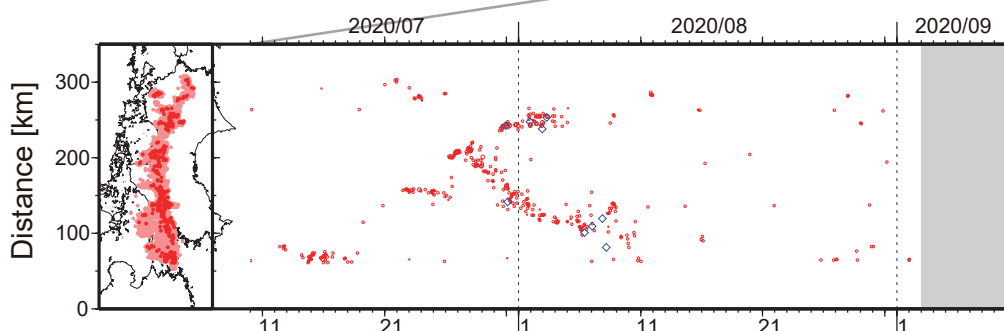


図1. 四国における2003年1月～2020年9月2日までの深部低周波微動の時空間分布(上図). 赤丸はエンベロープ相関・振幅ハイブリッド法 (Maeda and Obara, 2009) およびクラスタ処理 (Obara et al., 2010) によって1時間毎に自動処理された微動分布の重心である. 青菱形は周期20秒



に卓越する超低周波地震 (Ito et al., 2007) である. 黄緑色太線は, これまでに検出された短期的スロースリップイベント (SSE) を示す. 下図は2020年8月を中心とした期間の拡大図である. 7月22日～8月11日頃には徳島県西部から愛媛県西部において活発な微動活動がみられた. この活動は愛媛県中部で開始した後, 7月26日頃から愛媛県東部で活発化し, 西方向への活動域の移動が8月10日頃にかけてみられた. 7月30日頃からは愛媛・徳島県境付近でも活動が活発化し, やや東方向への活動域の移動がみられ, 8月4日以降はこの領域における活動は低調となった. 活動に際し, 傾斜変動から短期的SSEの断層モデルも推定されている. 8月15日頃には香川・徳島県境付近において, 8月26～27日頃には豊後水道において, それぞれごく小規模な活動がみられた.

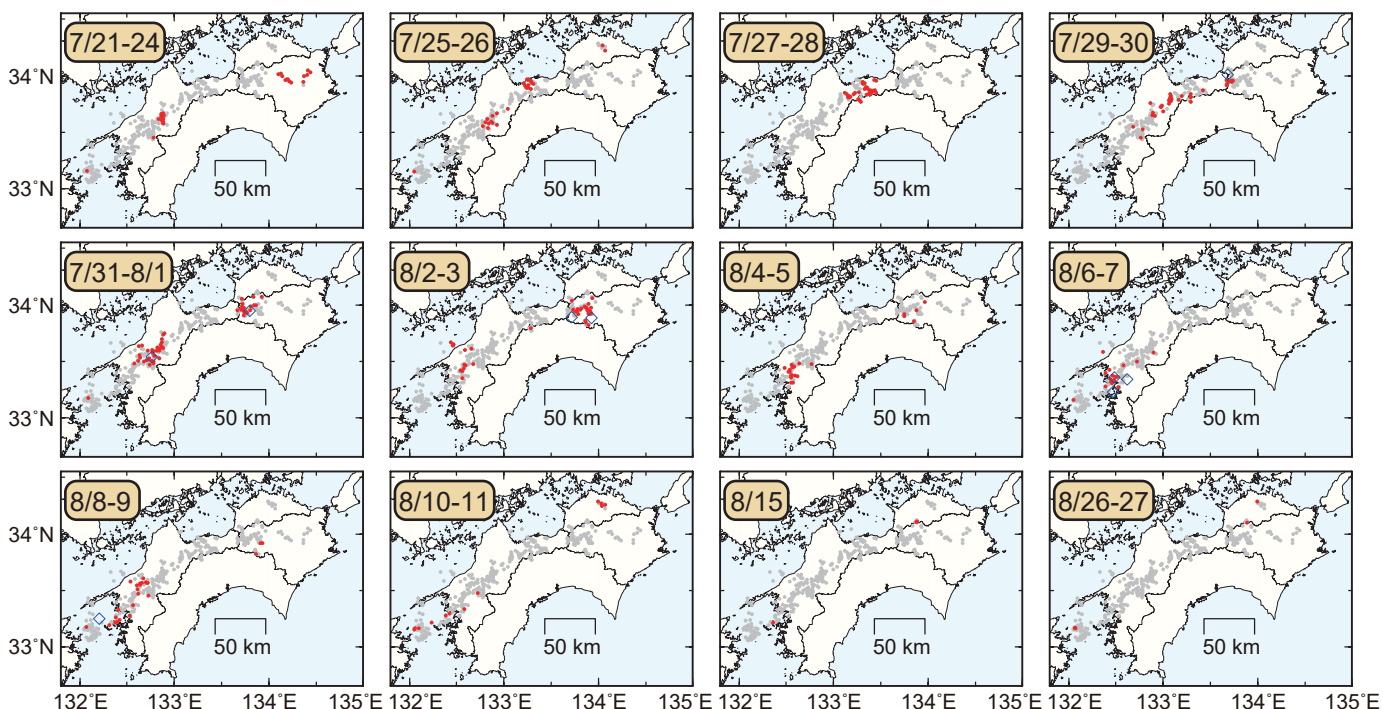


図2. 各期間に発生した微動分布(赤丸)および深部超低周波地震(青菱形). 灰丸は図1の拡大図で示した期間の微動分布.

四国東部から四国西部の深部低周波地震(微動)活動と短期的ゆっくりすべり

7月22日から8月23日にかけて四国東部から四国西部で深部低周波地震(微動)を観測した。7月22日に四国中部で始まった活動は、7月26日から北東側へ移動した。さらに、7月29日12時頃からは、四国東部及び四国西部でも活動がみられた。8月6日以降は主に四国西部から豊後水道にかけて活動がみられた。

7月27日12時頃から、深部低周波地震(微動)活動とほぼ同期して、周辺に設置されている複数のひずみ計で地殻変動を観測している。これらは、短期的ゆっくりすべりに起因すると推定される。

深部低周波地震(微動)活動

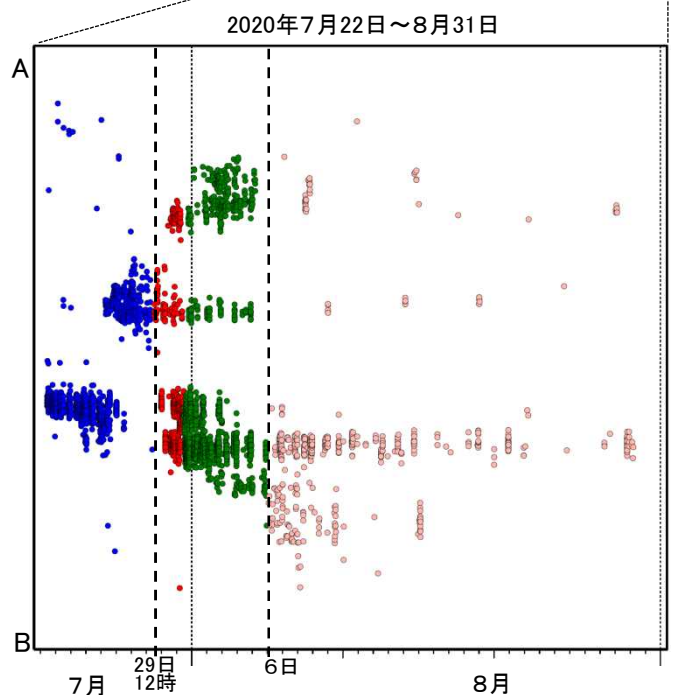
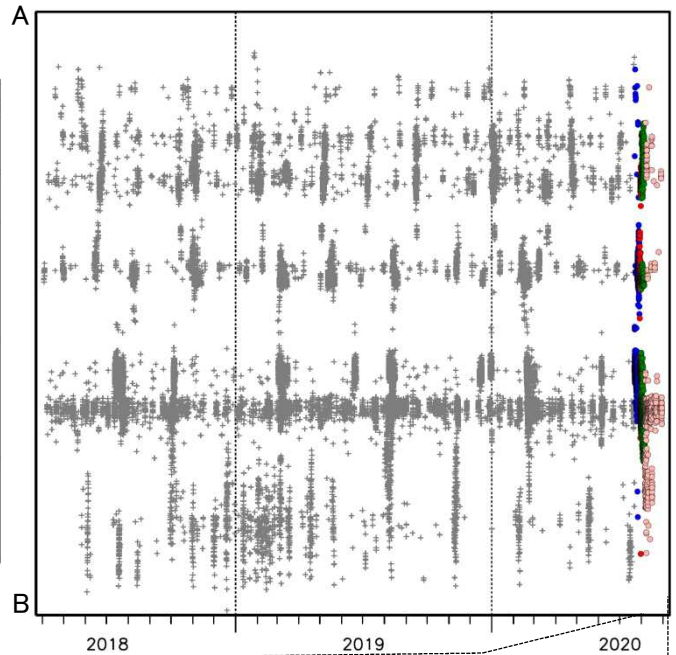
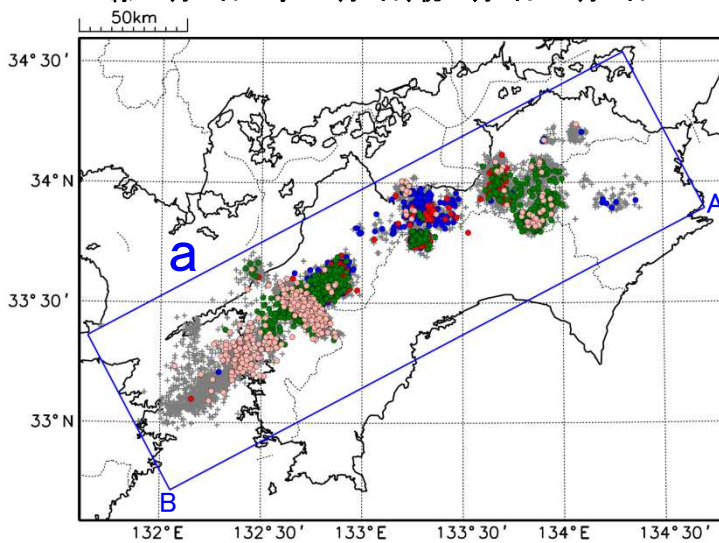
震央分布図(2018年4月1日~2020年8月31日、
深さ0~60km、Mすべて)

灰:2018年4月1日~2020年7月21日、

青:7月22日~7月29日12時、赤:7月29日12時~7月31日12時、

緑:7月31日12時~8月5日、桃:8月6日~8月31日

震央分布図の領域a内の時空間分布図(A-B投影)



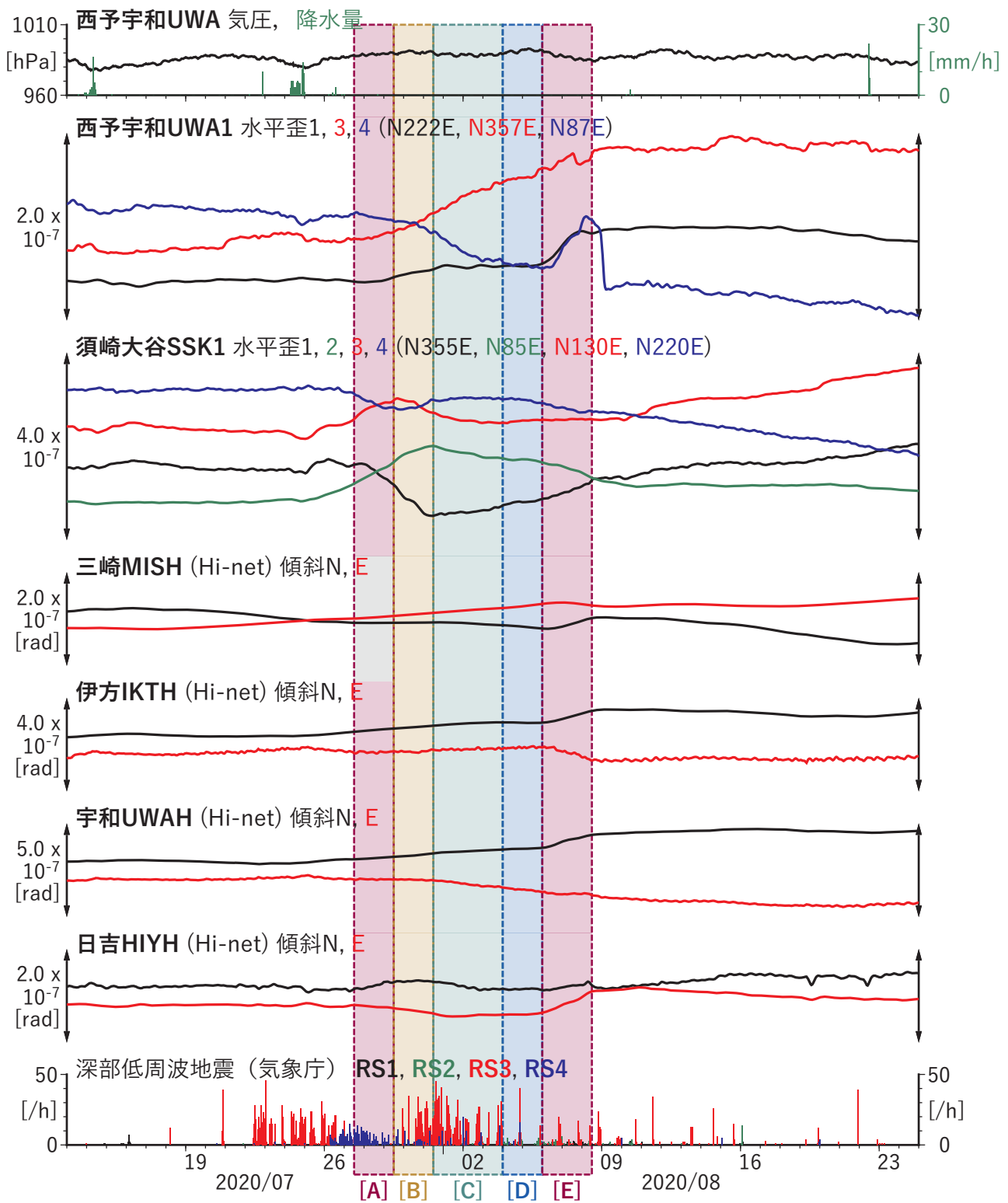


図2 歪・傾斜の時間変化 (2020/07/13 00:00 - 2020/08/25 00:00 (JST))

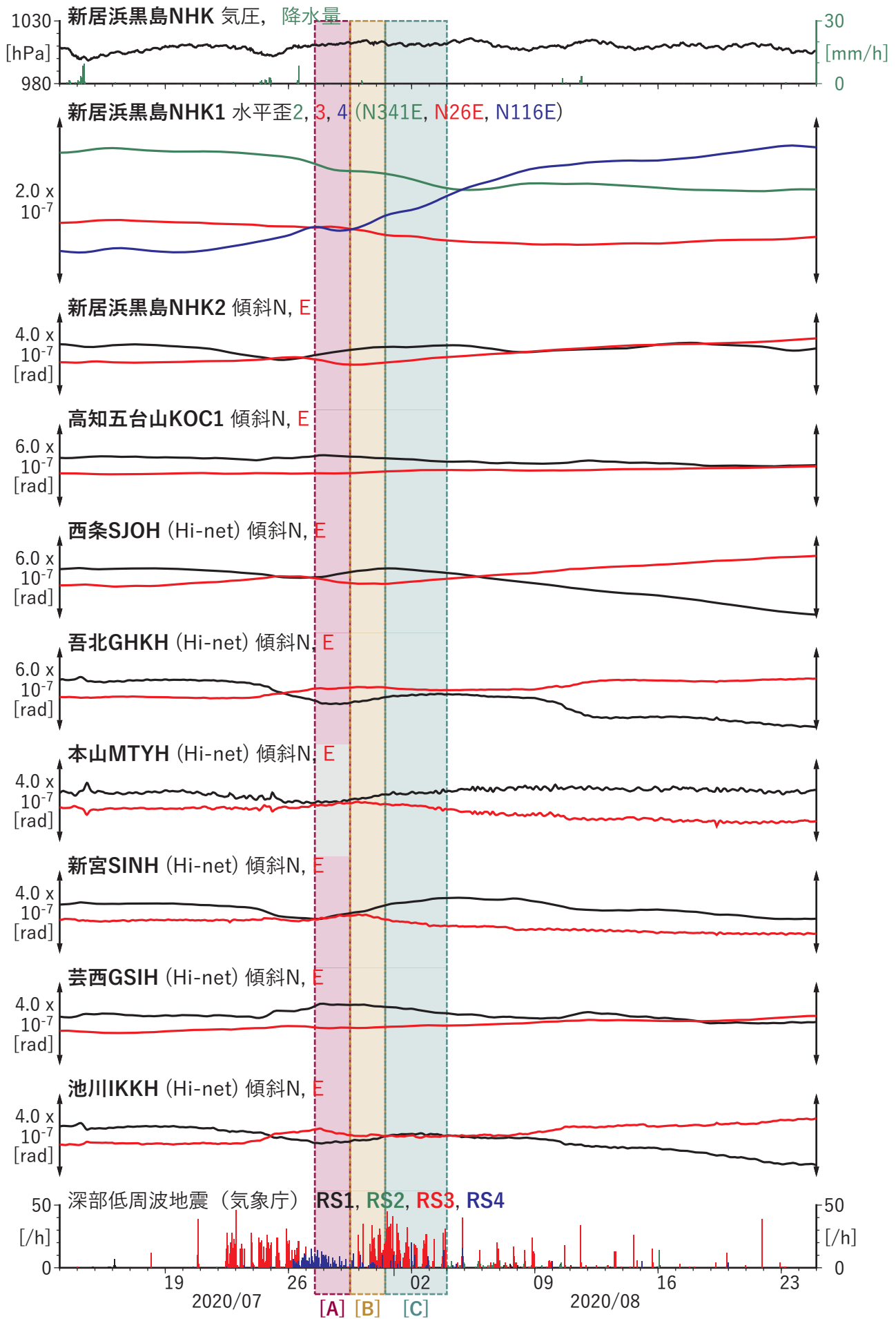
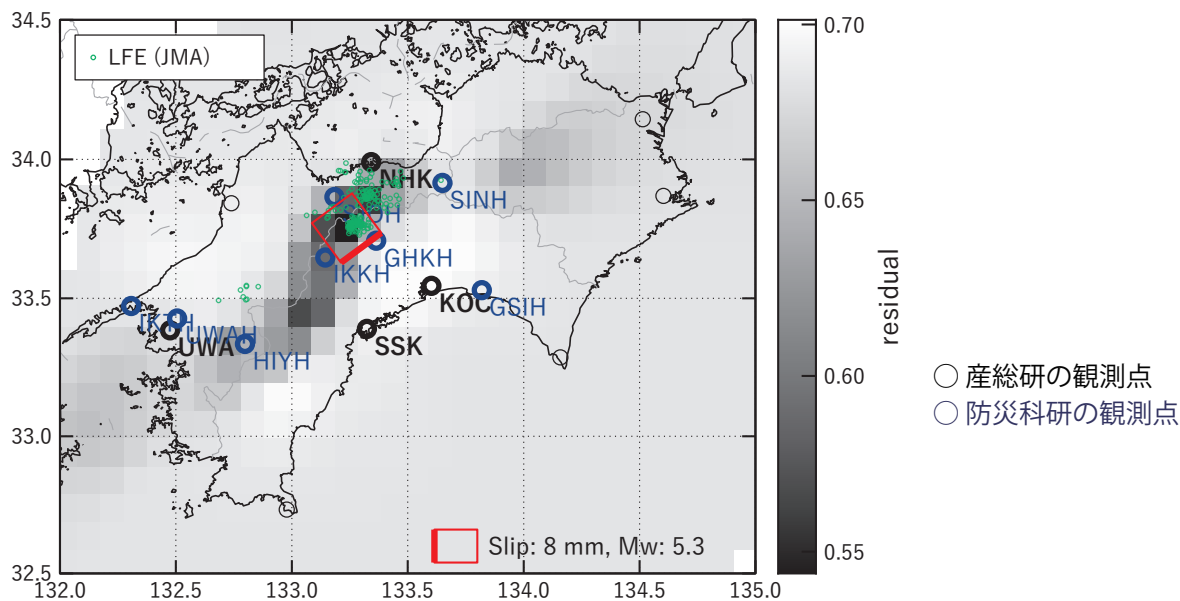


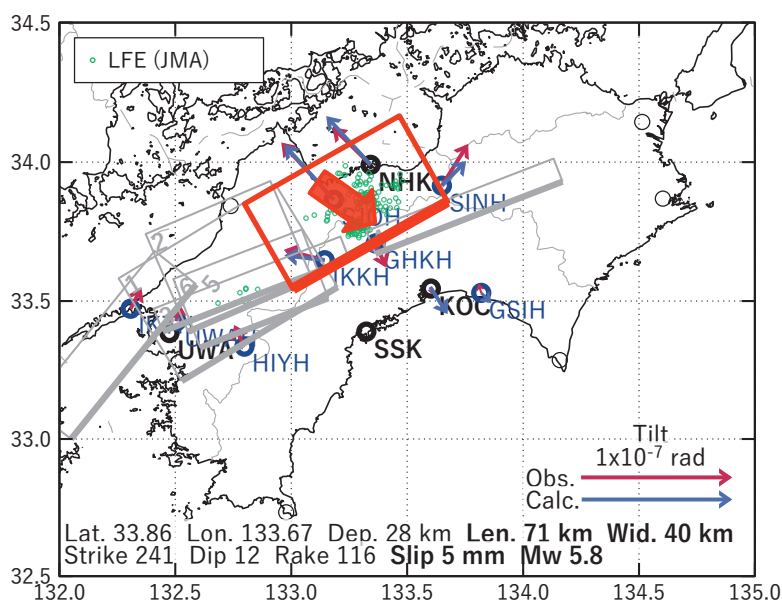
図3 歪・傾斜の時間変化 (2020/07/13 00:00 - 2020/08/25 00:00 (JST))

[A]2020/07/27PM-29AM

(a) 断層の大きさを固定した場合の断層モデルと残差分布



(b1) 推定した断層モデル



(b2) 主歪

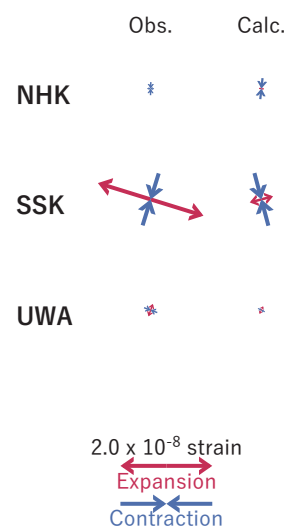


図4 2020/07/27PM - 29AM の歪・傾斜変化 (図2-3[A]) を説明する断層モデル。

(a) プレート境界面に沿って分布させた20×20kmの矩形断層面を移動させ、各位置で残差の総和を最小とするすべり量を選んだ時の残差の総和の分布。赤色矩形が残差の総和が最小となる断層面の位置。

(b1) (a)の位置付近をグリッドサーチして推定した断層面 (赤色矩形) と断層パラメータ。灰色矩形は最近周辺で発生したイベントの推定断層面。

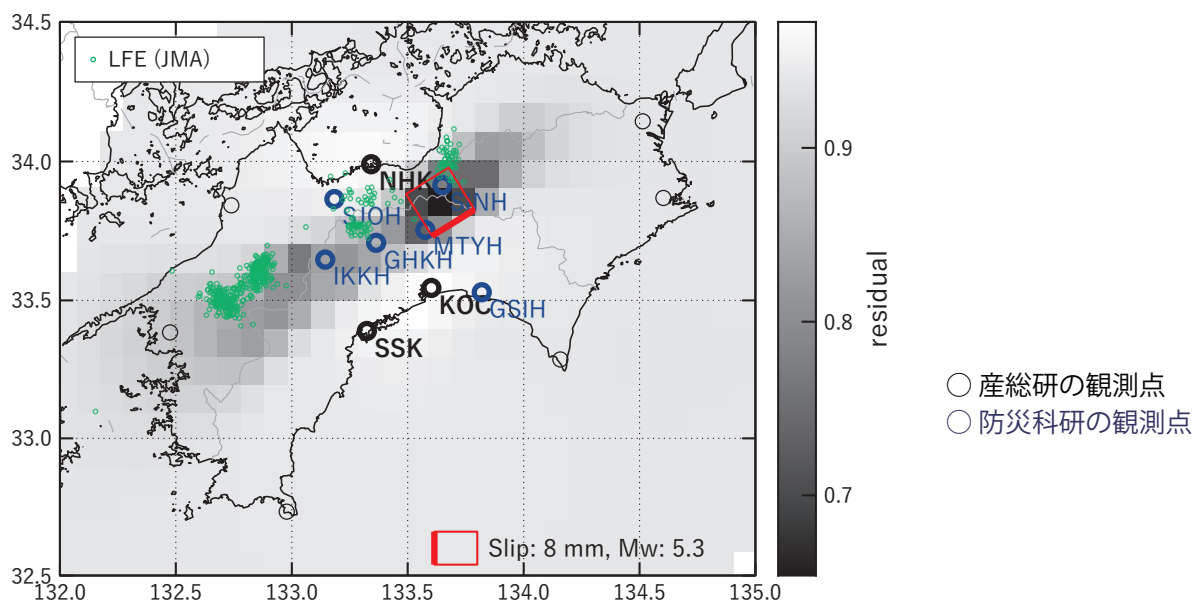
1: 2020/02/19-20AM (Mw5.5), 2: 2020/02/20PM-21AM (Mw5.8), 3: 2020/02/21PM-22 (Mw5.6)

4: 2020/04/23-27 (Mw5.5), 5: 2020/05/17-20AM (Mw5.6), 6: 2020/06/04PM-06 (Mw5.5)

(b2) 主歪の観測値と(b1)に示した断層モデルから求めた計算値との比較。

[B1] 2020/07/29PM-31AM (東側)

(a) 断層の大きさを固定した場合の断層モデルと残差分布



(b1) 推定した断層モデル

(b2) 主歪

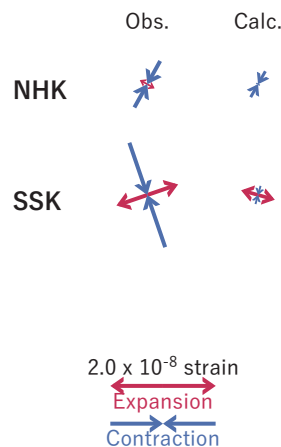
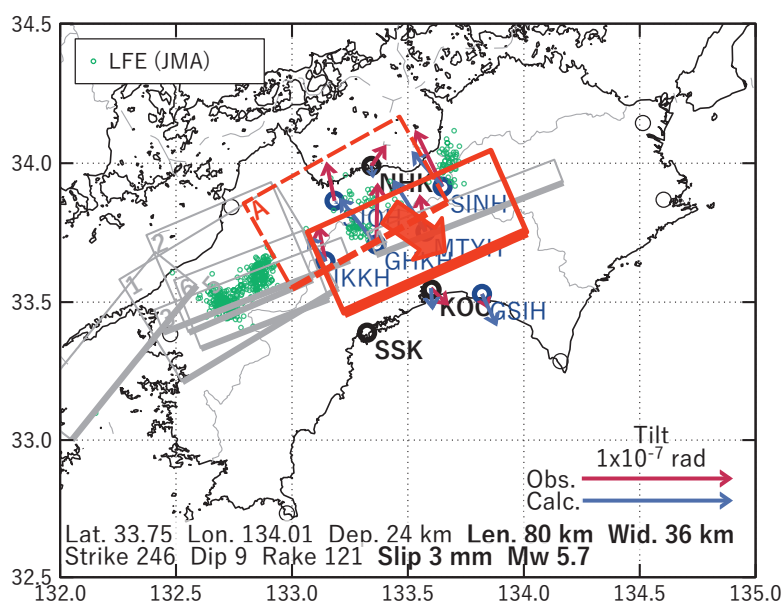


図5 2020/07/29PM - 31AM の歪・傾斜変化 (図2-3[B]の東側観測点) を説明する断層モデル。

(a) プレート境界面に沿って分布させた20×20kmの矩形断層面を移動させ、各位置で残差の総和を最小とするすべり量を選んだ時の残差の総和の分布。赤色矩形が残差の総和が最小となる断層面の位置。

(b1) (a)の位置付近をグリッドサーチして推定した断層面(赤色矩形)と断層パラメータ。灰色矩形は最近周辺で発生したイベントの推定断層面。

1: 2020/02/19-20AM (Mw5.5), 2: 2020/02/20PM-21AM (Mw5.8), 3: 2020/02/21PM-22 (Mw5.6)

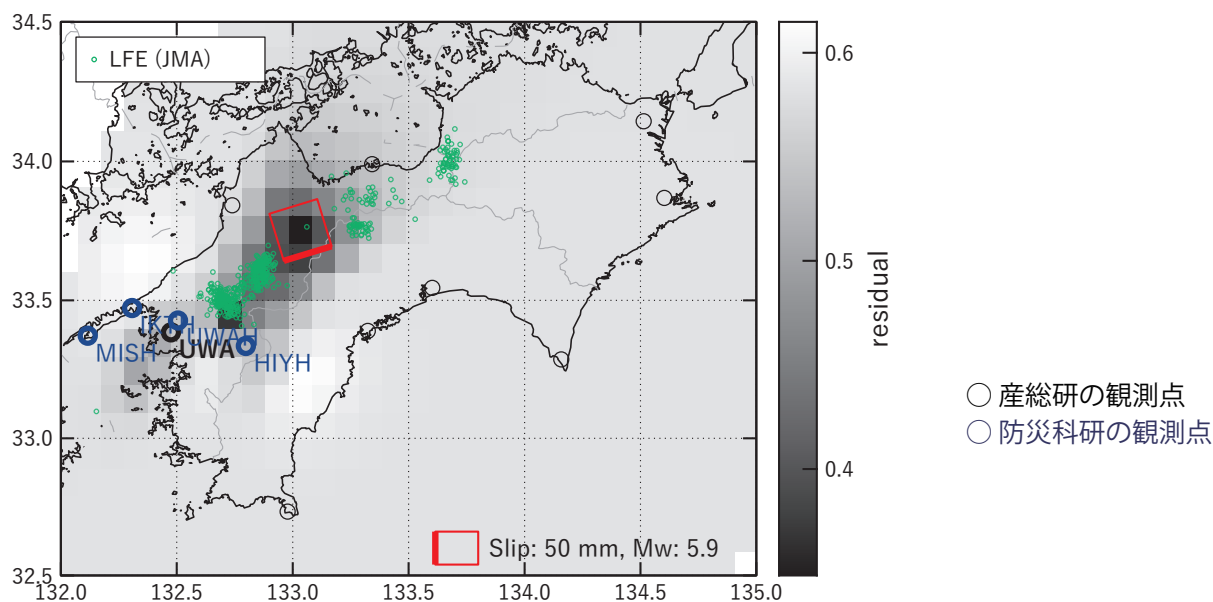
4: 2020/04/23-27 (Mw5.5), 5: 2020/05/17-20AM (Mw5.6), 6: 2020/06/04PM-06 (Mw5.5)

A: 2020/07/27PM-29AM (Mw5.8)

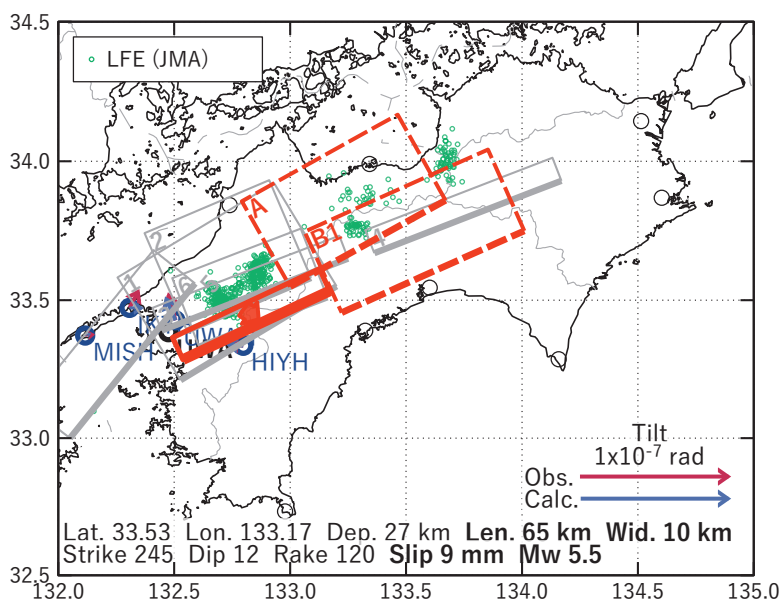
(b2) 主歪の観測値と(b1)に示した断層モデルから求めた計算値との比較。

[B2] 2020/07/29PM-31AM (西側)

(a) 断層の大きさを固定した場合の断層モデルと残差分布



(b1) 推定した断層モデル



(b2) 主歪

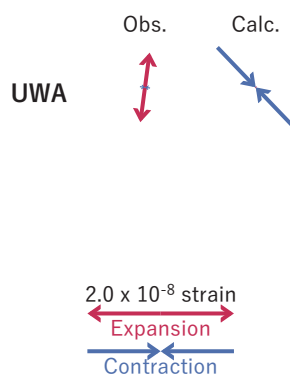


図6 2020/07/29PM-31AM の歪・傾斜変化 (図2-3[B]の西側観測点) を説明する断層モデル。

(a) プレート境界面に沿って分布させた20×20kmの矩形断層面を移動させ、各位置で残差の総和を最小とするすべり量を選んだ時の残差の総和の分布。赤色矩形が残差の総和が最小となる断層面の位置。

(b1) (a)の位置付近をグリッドサーチして推定した断層面 (赤色矩形) と断層パラメータ。灰色矩形は最近周辺で発生したイベントの推定断層面。

1: 2020/02/19-20AM (Mw5.5), 2: 2020/02/20PM-21AM (Mw5.8), 3: 2020/02/21PM-22 (Mw5.6)

4: 2020/04/23-27 (Mw5.5), 5: 2020/05/17-20AM (Mw5.6), 6: 2020/06/04PM-06 (Mw5.5)

A: 2020/07/27PM-29AM (Mw 5.8), B1: 2020/07/29PM-31AM (Mw5.7)

(b2) 主歪の観測値と(b1)に示した断層モデルから求めた計算値との比較。